

• 新药发现与研究实例简析 •

新药创制是复杂的智力活动,涉及科学研究、技术创造、产品开发和医疗效果等多维科技活动。每个药物都有自身的研发轨迹,而构建化学结构是最重要的环节,因为它涵盖了药效、药代、安全性和生物药剂学等多维性质。本栏目以药物化学视角,对有代表性的药物的成功构建,加以剖析和解读。

尼拉帕尼是一个PARP基因的靶向药物,主要针对BRCA1/2基因突变的卵巢癌和乳腺癌。从构建化学结构和活性评价乃至验证临床适应症等都紧紧瞄准发生BRCA1/2基因突变的PARP靶标,彰显出精准医学的特点。先导物的设计基于参与PARP催化反应的辅酶I的部分结构,优化过程中酶和细胞水平评价化合物的活性则针对突变的蛋白,更重要的是Tesarco公司从默克接手项目后在临床研究的概念验证上,针对BRCA发生突变的患者,因而得以获得良好的治疗效果,美国FDA也因此将尼拉帕尼列入快速通道进行优先审批。(编者按)

DOI:10.16438/j.0513-4870.2017-0454

贯彻精准研发的尼拉帕尼

郭宗儒

(中国医学科学院、北京协和医学院药物研究所,北京 100050)

1 作用靶标: 聚ADP核糖聚合酶

由于内在或外来的作用,细胞内DNA处于不断地损伤和修复中。受损伤的单链DNA由聚ADP核糖聚合酶(PARP)催化修复,双链的由BRCA修复,BRCA失效(例如突变)时PARP也履行修复功能。动物敲除PARP-1基因,失去修复的功能,经射线照射或细胞毒药物处理引起的细胞损伤会显著加重。许多化疗药物的作用机制是诱导DNA损伤,而癌细胞又通过自身的PARP和BRCA修复因而产生耐药性。所以化疗后用PARP抑制剂治疗,使癌细胞“雪上加霜”。

聚ADP核糖聚合酶是由18个蛋白组成的家族,参与细胞的多种功能,包括DNA修复、基因表达、细胞周期控制、能量代谢和细胞内移行等。PARP-1和PARP-2蛋白主要功能是修复作用(正常细胞和癌细胞),具有DNA结合域,催化烟酰胺腺嘌呤二核苷酸(NAD⁺)发生核昔化,对碱基切除修复(BER),修复DNA。

BRCA-1和BRCA-2是癌抑制因子,参与修复DNA双螺旋损伤的关键成分。BRCA-1和BRCA-2的缺失或突变是多数乳腺癌和卵巢癌患者的特征。BRCA突变对癌细胞是双刃剑,一方面,因为它能更快地积累基因突变,进化的更快,更容易产生耐药性,这是优势。另一方面,因为已经失去BRCA功能的癌细胞,如果PARP再被抑制,就彻底失去了修复DNA的能力,癌细胞就会很快死亡,这是癌细胞的劣势。本项目的研发目标是抑制PARP和对BRCA发生变异的肿

瘤抑制剂。

2 活性评价

2.1 化合物体外对PARP-1活性 体外评价化合物对PARP-1的抑制作用是用闪烁近邻分析方法测定。在96孔板上将系列浓度的受试物加入到PARP-1酶与含有[³H]-NAD⁺的NAD⁺培养液中,温孵后加入DNA底物,3h后加入链霉亲和素-闪烁近邻分析微珠(streptavidin-SPA bead)终止反应,5min后用微板闪烁计数仪测定放射性强度,由不同浓度的抑制率计算受试物的IC₅₀。

2.2 测定受试物抑制聚ADP核糖化作用 96孔板上接种HeLa细胞,温孵生长后,加入系列浓度的受试物,温孵18h,加入H₂O₂水溶液(阴性对照组不加H₂O₂),5min后,除去介质,细胞用-20℃甲醇固定20min,去除固定液,洗涤后加入初级单抗、二次抗鼠抗体和核染料,暗室中温孵后去除溶液,洗涤细胞后,用InCell1000仪读数。测定PARP阳性核与被全部染色的细胞核的比值,IC₅₀是基于残留的酶活性计算而得。

2.3 对细胞的作用 用含有抗BRCA-1的短发卡RNA(shRNA)表达元件和绿色荧光蛋白表达元件的慢病毒转染HeLa细胞,产生80%以上BRCA-1沉默的HeLa细胞,在96孔板与不同浓度的受试物温孵7天,用荧光计测定细胞生长的百分率。对照实验是野生型HeLa细胞,只转染绿色荧光蛋白表达的细胞。计算受试物抑制半数细胞生长的浓度(IC₅₀)。

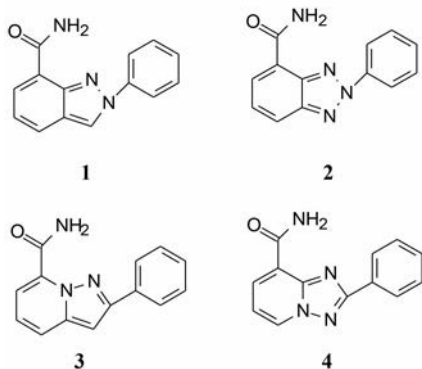
2.4 体内活性评价 雌性CD1小鼠接种人乳腺癌细

胞 (ATCC), 肿瘤生长到 150 mm³, 每日灌胃 100 mg·kg⁻¹ 一次, 或 50 mg·kg⁻¹ 灌胃两次, 连续 33 天, 期间每周测量体重和肿瘤尺寸。

3 先导化合物

3.1 辅酶 NAD⁺ 的作用 PARP-1 催化修复过程, 需有辅酶烟酰胺腺嘌呤二核苷酸 (NAD⁺) 参与, 本项目研发的策略依据, 是抑制剂占据 NAD⁺ 结合位置, 与 NAD⁺ 发生竞争性结合, 阻断反应的进行。X 射线晶体结构和分子模拟显示, NAD⁺ 结构中烟酰胺的酰胺基与 PARP-1 的 Ser904 羟基和 Gly863 骨架酰胺形成 3 对氢键, 吡啶环与 Tyr907 发生 π - π 叠合作用。基于这种结合模式, 苗头化合物的筛选就是从具有这种结合特征开始的。

3.2 先导物的设计和确定 先导物不是随机筛选而是设计得到的。为了满足上述的结合特征, 设计合成了 [6,5] 双杂环酰胺 **1**~**4**, 杂环和酰胺基对应于 NAD⁺ 的烟酰胺片段, 以形成氢键和 π - π 相互作用。活性评价显示具有中等活性 (表 1), 以化合物 **1** 为最强, IC₅₀ = 24 nmol·L⁻¹, 而且也呈现细胞活性 (EC₅₀ = 3.7 μ mol·L⁻¹), 提示可抑制因 H₂O₂ 引起 DNA 损伤的 PAR 聚合物生成。由于 **1** 的较强活性确定为先导化合物。

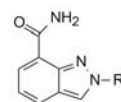


3.3 初步优化 化合物 **1** 作简单取代, 例如苯基或邻、间或对位取代苯基, 合成的化合物列于表 1。活性评价表明苯基 (**5**) 或邻氯取代 (**6**) 使活性降低, 而间 (**7**) 或对位 (**8**) 氯代, 都提高了活性。邻位取代可能因位阻效应引起的构象变化不利于结合, 因而后继优化的位点在间或对位。此外, 化合物 **1** 的溶解性低 (26 μ g·mL⁻¹), **7** 和 **8** 的溶解性更低, 不利于口服吸收, 后续的结构变换还须调整物化性质。

4 结构优化: 同时提高活性、选择性和物化性质

在苯环对位连接出侧链和片段, 预计不仅不会影响母核与烟酰胺结合腔的结合, 而且连接出的脂肪胺 (环胺或链胺) 可能增加同腺苷位点的结合, 提高结合强度和抑制作用, 同时也因引入碱性基团提高分子的溶解性, 优化成药性。为此, 合成的化合物列于表 2。

Table 1 Activity of the compounds optimized for initial skeleton



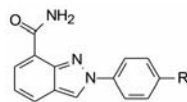
Compd.	R	IC ₅₀ /nmol·L ⁻¹	EC ₅₀ /nmol·L ⁻¹	EC ₉₀ /nmol·L ⁻¹
		PARP-1	PARylation	PARylation
1	C ₆ H ₅	24	3 700	6 200
2	-	71	Not test	Not test
3	-	53	Not test	Not test
4	-	270	Not test	Not test
5	CH ₂ C ₆ H ₅	130	>5 000	>5 000
6	<i>o</i> -Cl-C ₆ H ₄	100	Not test	Not test
7	<i>m</i> -Cl-C ₆ H ₄	14	450	5 600
8	<i>p</i> -Cl-C ₆ H ₄	24	720	6 700

分析表 2 的构效关系如下: ① 苯环对位连接二甲胺甲基, 化合物 **9** 的抑酶活性 (IC₅₀ = 3.7 nmol·L⁻¹) 比先导物提高了 6 倍, 而且对 DNA 损伤修复生成聚 ADP-核糖链的抑制活性提高了 33 倍。 **9** 对 BRCA-1 突变的子宫癌 HeLa 细胞抑制活性 (CC₅₀ = 520 nmol·L⁻¹) 比没有缺失的细胞 (CC₅₀ = 5 600 nmol·L⁻¹) 活性高 10 倍, 提示可选择性抑制 BECA-1 变异的细胞生长。 ② 末端胺基成环, 化合物 **10** 和 **11** 仍保持活性, 对 BRCA-1 变异的细胞选择性为 5 倍于非突变株。 吗啉环或甲基哌啶环或开环的 **12**~**14** 活性稍弱。 ③ 仲胺 **15** 的抑酶活性与 **9** 相当, 抑制 BRCA-1 变异细胞的选择性为 10 倍。 但 *N*-乙基或异丙基的活性和选择性差。 ④ 活性较好的化合物 **15** 是经一个碳原子连接位阻小的仲胺, 但经两个碳相连的 **22** 活性显著下降。 ⑤ 合成的四氢吡咯、哌啶 (分别与苯环以单键相连或并环) 等化合物, 是为了增加 α 碳的位阻, 降低 CYP 氧化代谢的不稳定性 (下节叙述)。 结果不仅增加了稳定性, 而且大多提高了活性和选择性。 其中化合物 **27** 对 PARP-1 酶和 BRCA-1 突变的 HeLa 细胞活性与选择性显著提高, 进而将 **27** 拆分成光学异构单体, *S* 构型 (**28**) 优胜于 *R* (**29**), *S* 对变异细胞的活性强于 *R* 构型 15 倍, 提示哌啶环与靶酶的结合具有立体选择性。

5 评价药代动力学

对活性较强的化合物评价了体内外药代性质, 列于表 3。 其实, 诸轮设计合成的化合物不仅基于活性的变化, 还注意提高代谢稳定性。 例如为了降低化合物 **15** 被大鼠肝微粒体清除率 (CL = 28 μ L·min⁻¹·g⁻¹), 避免苯基 α 碳被氧化, 在 α 位引入甲基或偕甲基, 化合物 **20** 和 **21** 基本保持活性, 由于增加了位阻, 提高了稳定性, 清除率 CL 分别为 9 和 11 μ L·min⁻¹·g⁻¹。 四氢吡咯和哌啶经碳原子连接于苯环上, 也是为了提高稳定性。

表 3 中提示化合物 **20** 大鼠血浆清除率 CL =

Table 2 Inhibitory activity of 2-substituted phenyl-2*H*-indazole-7-carboxamide on the proliferation of PARP and HeLa cells. a: Mutant BRCA; b: Wild BRCA

Compd.	R	IC ₅₀ /nmol·L ⁻¹		EC ₅₀ /nmol·L ⁻¹		CC ₅₀ /nmol·L ⁻¹	
		PARP-1	PARylation	PARylation	BRCA1 ^a	BRCA1WT ^b	
9		3.7	110	630	520	5 600	
10		4.8	94	450	1 200	8 100	
11		1.9	180	970	880	5 800	
12		17	1 200	6 200	5 300	>20 000	
13		31	1 100	2 700	2 700	7 900	
14		5.9	170	4 400	3 900	>20 000	
15		3.8	68	740	460	5 400	
16		4.3	150	2 100	1 600	7 400	
17		2.1	>5 000	Not test	Not test	Not test	
18		14	3 400	7 600	>6 600	>6 600	
19		6.7	700	2 600	2 000	10 000	
20		3.7	58	680	3 100	14 000	
21		16	110	900	920	5 500	
22		200	Not test	Not test	19 000	>20 000	
23		2.2	46	310	130	2 200	
24		1.4	13	140	270	5 400	
25		3.1	31	430	190	10 000	
26		9	24	220	410	2 000	
27		3.2	Not test	Not test	72	4 500	
28		3.2	4.0	45	33	860	
29		2.4	30	280	470	5 700	

Table 3 *In vivo* and *in vitro* pharmacokinetic properties of active compounds. ^aRat liver microsomes; ^bHuman liver microsomes

Compd.	CL/ $\mu\text{L}\cdot\text{min}^{-1}\cdot\text{g}^{-1}$				F/%
	RLM ^a	HLM ^b	CYP1A1	Rat	
9	177	1	8.7	450	–
11	29	3	3.8	107	–
15	28	3	6	220	23
20	9	1	2.2	58	–
21	11	<1	0.4	30	–
23	52	4	0.7	87	–
24	36	3	0.7	30	22
25	22	4	2.5	Not test	–
27	11	1	0.3	47	74
28	16	4	0.3	28	65
29	7	3	<0.1	24	47

58 $\mu\text{L}\cdot\text{min}^{-1}\cdot\text{kg}^{-1}$, 表明稳定性高于没有 α 甲基的化合物 **15** (CL = 220 $\mu\text{L}\cdot\text{min}^{-1}\cdot\text{kg}^{-1}$)。

化合物 **27** 为 3-哌啶化合物, 含有稳定的苯乙胺片段, 对大鼠肝微粒体和重组的 CYP1A1 的清除率分别为 11 和 0.3 $\mu\text{L}\cdot\text{min}^{-1}\cdot\text{g}^{-1}$, 口服生物利用度 $F = 74\%$ 。S 异构体 (**28**) 大鼠体内的清除率 CL = 28 $\mu\text{L}\cdot\text{min}^{-1}\cdot\text{kg}^{-1}$, 口服生物利用度 $F = 65\%$ 。R 构型的 CL = 24 $\mu\text{L}\cdot\text{min}^{-1}\cdot\text{kg}^{-1}$, 口服生物利用度 $F = 47\%$, S 构型对 BRCA-1 突变的 HeLa 细胞活性 $\text{CC}_{50} = 33 \text{ nmol}\cdot\text{L}^{-1}$, 阴性对照的细胞毒作用 $\text{CC}_{50} = 860 \text{ nmol}\cdot\text{L}^{-1}$, 选择性为 17 倍; 而 R 构型对 BRCA-1 突变的 HeLa 细胞活性 $\text{CC}_{50} = 470 \text{ nmol}\cdot\text{L}^{-1}$, 阴性对照组 $\text{CC}_{50} = 5\,700 \text{ nmol}\cdot\text{L}^{-1}$, 所以, S 构型的 **28** 是药效与药代都优良的化合物。

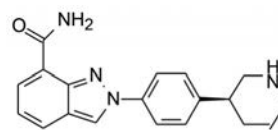
6 候选化合物的确定和尼拉帕尼的上市

进一步评价 **28** 对 PARP 亚型的抑制活性, 发现只选择性地对 PARP-1 和-2 有强抑制活性 (PARP-1 $\text{IC}_{50} = 3.2 \text{ nmol}\cdot\text{L}^{-1}$; PARP-2 $\text{IC}_{50} = 2.1 \text{ nmol}\cdot\text{L}^{-1}$), 对其他亚型 PARP 的 IC_{50} 都大于 330 $\text{nmol}\cdot\text{L}^{-1}$ 。抑制 BECA-1 发生变异乳腺癌细胞 $\text{CC}_{50} = 18 \text{ nmol}\cdot\text{L}^{-1}$; BECA-2 发生变异的胰腺腺癌细胞活性为 $\text{CC}_{90} = 90 \text{ nmol}\cdot\text{L}^{-1}$, 而对未发生变异的上皮细胞无细胞毒作用。

化合物 **28** 的甲苯磺酸盐有良好的药代动力学性

质, 大鼠口服生物利用度 $F = 65\%$, 较高的分布容积 $V_{\text{dss}} = 6.9 \text{ L}\cdot\text{kg}^{-1}$, 半衰期 $t_{1/2} = 3.4 \text{ h}$ 。

体内药效学实验表明, 雌性 CD1 裸鼠接种 BRCA-1 变异的 MDA-MB-436 细胞, 肿瘤生长到 150 mm^3 , 每日灌胃 100 $\text{mg}\cdot\text{kg}^{-1}$ 一次, 或 50 $\text{mg}\cdot\text{kg}^{-1}$ 灌胃两次, 连续 33 天, 两种给药方法都使肿瘤消退, 体重减轻在 10% 以内, 裸鼠未出现死亡。



Niraparib

基于以上性质, 默克公司 (后转给 Tesaro 公司) 确定化合物 **28** 为候选化合物, 定名为尼拉帕尼 (niraparib), 经临床前和临床研究, 证明对 BRCA1/2 基因突变的卵巢癌和乳腺癌患者化疗后, 每日口服尼拉帕尼一次, “中位无进展生存时间”是 21 个月。而对照组使用安慰剂的病人, 只有 5.5 个月。由于疗效显著美国 FDA 于 2017 年 3 月批准上市。

7 后记

尼拉帕尼是聚 ADP 核糖聚合酶 (PARP) 抑制剂, 抑制肿瘤细胞 PARP 对受损伤 DNA 的修复, 成为带有 BRCA 基因突变的癌症的靶向治疗药物。国内外与尼拉帕尼同时研发 PARP 抑制剂的单位很多, 历程并不顺利, 例如第一个 PARP 抑制剂药物是阿斯利康 2014 年底上市的奥拉帕尼 (olaparib), 几经周折成为卵巢癌治疗的四线用药。而尼拉帕尼的原研者默克公司于 2008~2012 年四年的临床研究未果而放弃, 2012 年 5 月将其转让给 Tesaro 公司。Tesaro 在卵巢癌和乳腺癌开展了精准性研究, 其关键性临床试验 (NOVA) 是 PARP 抑制剂领域内 III 期研究中最成功的一个, 美国 FDA 也因此将尼拉帕尼列入快速通道进行优先审批。尼拉帕尼的成功使原本低迷的 Tesaro 股价暴涨, 体现了生物制药界的高风险高回报的常态。